

# 磁化トーラス上にコンパクト化した 超対称模型におけるモジュライ固定

宮根 一樹

2024 年 1 月 23 日

# 1. イントロダクション

高次元時空モデル：素粒子標準模型を再現する可能性

余剰次元は低エネルギーで観測できないほど小さくコンパクト化

余剰次元の大きさ (モジュライ) は力学的な場

→ 低エネルギーで真空期待値に固定

## 本研究の動機

標準模型の世代構造を再現する高次元時空モデル [1] で

余剰次元のモジュライを固定



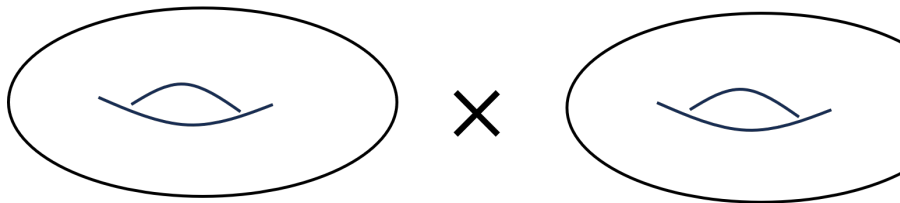
その値を用いて現象論的に興味のある量を計算

## 2. 磁化トーラス模型

トーラスコンパクト化

4次元ミンコフスキー + 6次元余剰空間

余剰次元にトーラス  $T^2$  の境界条件  $\rightarrow$  コンパクト化



$$\longrightarrow B^{(i)} = \{M_1^{(i)}, M_2^{(i)}\} : M_a^{(i)} \text{ は整数}$$

## 2. 磁化トーラス模型

### モジュライのポテンシャル

$$V^{(D)}(T_i) = \sum_{a=1,2} \left( \sum_{i=1,2,3} \frac{\pi M_a^{(i)}}{T_i} \right)^2 \times \prod_{i=1,2,3} T_i$$

↓ 真空期待値  $\langle T_i \rangle$  の周りで展開

$$V^{(D)}(T_i) \sim V^{(D)}(\langle T_i \rangle) + \underbrace{\frac{1}{2} \partial_{T_r} \partial_{T_{r'}} V^{(D)} \Big|_{T_i = \langle T_i \rangle}}_{\equiv V_{rr'}} \delta T_r \delta T_{r'}$$

## 2. 磁化トーラス模型

### モジュライのポテンシャル

$$V^{(D)}(T_i) = \sum_{a=1,2} \left( \sum_{i=1,2,3} \frac{\pi M_a^{(i)}}{T_i} \right)^2 \times \prod_{i=1,2,3} T_i$$

↓ 真空期待値  $\langle T_i \rangle$  の周りで展開

$$V^{(D)}(T_i) \sim V^{(D)}(\langle T_i \rangle) + \underbrace{\frac{1}{2} \partial_{T_r} \partial_{T_{r'}} V^{(D)} \Big|_{T_i = \langle T_i \rangle}}_{\equiv V_{rr'}} \delta T_r \delta T_{r'}$$

### 行列 $V_{rr'}$ の対角化

$$V^D \sim V^{(D)}(\langle \tilde{T}_i \rangle) + \frac{1}{2} m_2^2 \delta \tilde{T}_2^2 + \frac{1}{2} m_3^2 \delta \tilde{T}_3^2$$

$\tilde{T}_i$  : 対角化後の基底 &  $m_2^2, m_3^2$  :  $V_{rr'}$  の固有値

## 2. 磁化トーラス模型

新・旧基底の関係

$P$  は対角化行列

$$\langle T_1 \rangle = P_{11} \langle \tilde{T}_1 \rangle + P_{12} \langle \tilde{T}_2 \rangle + P_{13} \langle \tilde{T}_3 \rangle$$

$$\langle T_2 \rangle = P_{21} \langle \tilde{T}_1 \rangle + P_{22} \langle \tilde{T}_2 \rangle + P_{23} \langle \tilde{T}_3 \rangle$$

$$\langle T_3 \rangle = P_{31} \langle \tilde{T}_1 \rangle + P_{32} \langle \tilde{T}_2 \rangle + P_{33} \langle \tilde{T}_3 \rangle$$

## 2. 磁化トーラス模型

新・旧基底の関係

$P$  は対角化行列

$$\langle T_1 \rangle = P_{11} \langle \tilde{T}_1 \rangle + P_{12} \langle \cancel{\tilde{T}_2} \rangle + P_{13} \langle \cancel{\tilde{T}_3} \rangle$$

$$\langle T_2 \rangle = P_{21} \langle \tilde{T}_1 \rangle + P_{22} \langle \cancel{\tilde{T}_2} \rangle + P_{23} \langle \cancel{\tilde{T}_3} \rangle$$

$$\langle T_3 \rangle = P_{31} \langle \tilde{T}_1 \rangle + P_{32} \langle \cancel{\tilde{T}_2} \rangle + P_{33} \langle \cancel{\tilde{T}_3} \rangle$$

→ モジュライ  $\tilde{T}_1$  の真空期待値が決まれば,  $\langle T_i \rangle$  が全て決定

今後の目標

モジュライ  $\tilde{T}_1 \equiv \tilde{T}$  の真空期待値  $\langle \tilde{T} \rangle$  を決定

### 3. モジュライ固定

#### $\tilde{T}$ のポテンシャル

スーパーポテンシャル  $W$ , ケーラーポテンシャル  $K$

$$W = w_0 - Ae^{-aP_{11}\tilde{T}} - Be^{-bP_{11}\tilde{T}}X$$

$$K = -3 \ln(\tilde{T} + \bar{\tilde{T}}) + |X|^2$$



$$V^{(F)}(\tilde{T}, X) = e^K (K^{I\bar{J}} (D_I W)(D_{\bar{J}} \bar{W}) - 3|W|^2) : \text{ポテンシャル}$$

$$f_I \equiv \partial_I f, \quad D_I W \equiv W_I + K_I W \quad (I = X, \tilde{T})$$

→ 最小点 ( $\langle T \rangle$ ,  $\langle X \rangle$ ) は近似的に知られている



### 3. モジュライ固定

先行研究 [1, 3]

$$W = w_0 - Ae^{-aT} - Be^{-bT}X$$

$$K = -3 \ln(T + \bar{T}) + |X|^2$$

$$w_0 \ll 1, A, B \sim 1, a, b \sim 4\pi^2$$



$$x = \sqrt{3} - 1, t = \mathcal{O}(1)$$

点  $(t, x)$  は真の最小点  $(\langle T \rangle, \langle X \rangle)$  の近似点

→ 以降はこの近似値を用いて計算

### 3. モジュライ固定

先行研究 [1, 3] 今回のポテンシャル:  $-Ae^{-aP_{11}T} - Be^{-bP_{11}T}X$

$$W = w_0 - Ae^{-aT} - Be^{-bT}X$$

$$K = -3 \ln(T + \bar{T}) + |X|^2$$

$$w_0 \ll 1, A, B \sim 1, a, b \sim 4\pi^2$$



$$x = \sqrt{3} - 1, t \sim 1.87 = \mathcal{O}(1)$$

点  $(t, x)$  は真の最小点  $(\langle T \rangle, \langle X \rangle)$  の近似点

→ 以降はこの近似値を用いて計算

## 4. 計算結果

(注：卒論 & 発表までに改善)

磁場  $M_a^i$  の値を先行研究 [1] の値にとる

$$M^{(1)} = \begin{pmatrix} 7 & 0 \\ 0 & -7 \end{pmatrix}, \quad M^{(2)} = \begin{pmatrix} 1 & 0 \\ 0 & 0 \end{pmatrix}, \quad M^{(3)} = \begin{pmatrix} 0 & 0 \\ 0 & -1 \end{pmatrix}$$

$M_{\text{Pl}} = 1.2 \times 10^{19} \text{ GeV}$  を 1 にとる

- $\langle T_1 \rangle \sim 1.907$ ,  $\langle T_2 \rangle$ ,  $\langle T_3 \rangle \sim 13.4$
- $m_2^{(D)}, m_3^{(D)} \sim 11$ ,  $m_T \sim 10^{-29} \rightarrow m_2^{(D)}, m_3^{(D)} \gg m_T$   
 $F^T \sim 10^{-46} \rightarrow F^T \sim 0$
- アノマリー伝播とモジュライ伝搬の比 [4]

$$\alpha \sim 10^{13} \neq \mathcal{O}(1)$$

## 5. まとめと展望

### まとめ

- モジュライの真空期待値を決定 → 余剰次元の大きさを決定
- その値を用いて現象論的に興味のある量を計算
  - ▶ 質量や超対称性は望ましい結果  $\leftrightarrow \alpha$  は望ましくない値

### 展望

- モジュライ固定の計算  
→ 今回は先行研究の計算をそのまま適用
- スーパーポテンシャルの形を変える
  - ▶ ブレーンによる非摂動効果を変化させた場合
  - ▶ ISS-KKLT モデルの場合 など

# 付録

# 目次

- ① イン트로ダクション
- ② 磁化トーラス模型
- ③ モジュライ固定
- ④ 計算結果
- ⑤ まとめと展望
- ⑥ 付録
  - 対角化行列
  - モジュライを固定する動機
  - 背景磁場
  - 参照点とモジュライ固定
  - モジュライ固定の例

# 目次

## 7 参考文献

# A. 対角化行列

$$\begin{aligned}
 P_{11} &= \frac{(M_1^{(2)} M_2^{(1)} - M_1^{(1)} M_2^{(2)}) (M_1^{(3)} M_2^{(2)} - M_1^{(2)} M_2^{(3)})}{(M_1^{(2)} M_2^{(3)} - M_1^{(3)} M_2^{(2)})^2} \sqrt{\left| \frac{(M_1^{(2)} M_2^{(1)} - M_1^{(1)} M_2^{(2)}) (M_1^{(3)} M_2^{(2)} - M_1^{(2)} M_2^{(3)})}{(M_1^{(2)} M_2^{(3)} - M_1^{(3)} M_2^{(2)})^2} \right|^2 + \left| \frac{(M_1^{(2)} M_2^{(1)} - M_1^{(1)} M_2^{(2)}) \left( \frac{M_1^{(3)} M_2^{(1)} (M_1^{(2)} M_2^{(3)} - M_1^{(3)} M_2^{(2)})^2}{(M_1^{(3)} M_2^{(1)} - M_1^{(1)} M_2^{(3)})^2} - \frac{M_1^{(1)} M_2^{(3)} (M_1^{(2)} M_2^{(3)} - M_1^{(3)} M_2^{(2)})^2}{(M_1^{(3)} M_2^{(1)} - M_1^{(1)} M_2^{(3)})^2} \right)}{(M_1^{(2)} M_2^{(3)} - M_1^{(3)} M_2^{(2)})^2} \right|^2} + 1 \\
 P_{21} &= - \frac{(M_1^{(2)} M_2^{(1)} - M_1^{(1)} M_2^{(2)}) \left( \frac{M_1^{(3)} M_2^{(1)} (M_1^{(2)} M_2^{(3)} - M_1^{(3)} M_2^{(2)})^2}{(M_1^{(3)} M_2^{(1)} - M_1^{(1)} M_2^{(3)})^2} - \frac{M_1^{(1)} M_2^{(3)} (M_1^{(2)} M_2^{(3)} - M_1^{(3)} M_2^{(2)})^2}{(M_1^{(3)} M_2^{(1)} - M_1^{(1)} M_2^{(3)})^2} \right)}{(M_1^{(2)} M_2^{(3)} - M_1^{(3)} M_2^{(2)})^2} \sqrt{\left| \frac{(M_1^{(2)} M_2^{(1)} - M_1^{(1)} M_2^{(2)}) (M_1^{(3)} M_2^{(2)} - M_1^{(2)} M_2^{(3)})}{(M_1^{(2)} M_2^{(3)} - M_1^{(3)} M_2^{(2)})^2} \right|^2 + \left| \frac{(M_1^{(2)} M_2^{(1)} - M_1^{(1)} M_2^{(2)}) \left( \frac{M_1^{(3)} M_2^{(1)} (M_1^{(2)} M_2^{(3)} - M_1^{(3)} M_2^{(2)})^2}{(M_1^{(3)} M_2^{(1)} - M_1^{(1)} M_2^{(3)})^2} - \frac{M_1^{(1)} M_2^{(3)} (M_1^{(2)} M_2^{(3)} - M_1^{(3)} M_2^{(2)})^2}{(M_1^{(3)} M_2^{(1)} - M_1^{(1)} M_2^{(3)})^2} \right)}{(M_1^{(2)} M_2^{(3)} - M_1^{(3)} M_2^{(2)})^2} \right|^2} + 1 \\
 P_{31} &= \frac{1}{\sqrt{\left| \frac{(M_1^{(2)} M_2^{(1)} - M_1^{(1)} M_2^{(2)}) (M_1^{(3)} M_2^{(2)} - M_1^{(2)} M_2^{(3)})}{(M_1^{(2)} M_2^{(3)} - M_1^{(3)} M_2^{(2)})^2} \right|^2 + \left| \frac{(M_1^{(2)} M_2^{(1)} - M_1^{(1)} M_2^{(2)}) \left( \frac{M_1^{(3)} M_2^{(1)} (M_1^{(2)} M_2^{(3)} - M_1^{(3)} M_2^{(2)})^2}{(M_1^{(3)} M_2^{(1)} - M_1^{(1)} M_2^{(3)})^2} - \frac{M_1^{(1)} M_2^{(3)} (M_1^{(2)} M_2^{(3)} - M_1^{(3)} M_2^{(2)})^2}{(M_1^{(3)} M_2^{(1)} - M_1^{(1)} M_2^{(3)})^2} \right)}{(M_1^{(2)} M_2^{(3)} - M_1^{(3)} M_2^{(2)})^2} \right|^2} + 1}
 \end{aligned}$$



## B. モジュライを固定する動機

ヤン・ミルズ理論の結合定数

$$\begin{aligned} \int d^{10}X \sqrt{-G} \frac{1}{g^2} \text{Tr} \left[ -\frac{1}{4} F^{MN} F_{MN} \right] \\ = \int d^4x \underbrace{\left( \int d^6y \sqrt{-G} \frac{1}{g^2} \right)}_{\equiv 1/g_{4D}^2} \text{Tr} \left[ -\frac{1}{4} F^{\mu\nu} F_{\mu\nu} \right] + (\cdots) \end{aligned}$$

→ 余剰次元の形が4次元のゲージ結合定数などを決定

## B. モジュライを固定する動機

- 10次元時空の計量

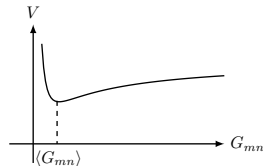
$$G_{MN}(x) = \begin{pmatrix} g_{\mu\nu}(x) & * \\ * & G_{mn}(x) \end{pmatrix}$$

- $G_{mn}(x)$ : 4次元でのスカラー場 (モジュライという)
- モジュライの真空期待値はポテンシャルで決定 → モジュライ固定

余剰次元の形はダイナミカルな  
場  $G_{mn}(x)$



真空期待値になる  $\langle G_{mn} \rangle$



## C. 背景磁場

真空期待値を次のように決める．

$$\langle A_i \rangle = \frac{\pi}{\text{Im } \tau_i} M^{(i)} \bar{z}_i,$$

$$M^{(i)} = \begin{pmatrix} M_1^{(i)} & 0 & \cdots & 0 \\ 0 & M_2^{(i)} & \cdots & 0 \\ \vdots & \vdots & \ddots & \vdots \\ 0 & 0 & \cdots & M_N^{(i)} \end{pmatrix}.$$

- $M_a^{(i)}$  は整数
- $M^{(i)}$  はトーラス上の磁場  $\rightarrow F_{45} = \pi M^{(1)}$  など
- ブロック対角化でより小さいゲージ対称性

$$U(N) \rightarrow U(N_1) \times U(N_2) \times \cdots \times U(\tilde{N})$$

## D. 参照点とモジュライ固定

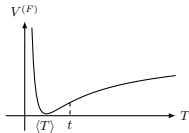
- スーパーポテンシャル  $W$  とケーラーポテンシャル  $K$   
 → スカラーポテンシャル ( **$F$ -term ポテンシャル**)

$$V^{(F)} \equiv e^K (K^{I\bar{J}} (D_I W) (D_{\bar{J}} \bar{W}) - 3|W|^2)$$

$$D_I W \equiv W_I + K_I W \quad (I = X, T)$$

$$f_I \equiv \partial_I f, \quad K^{I\bar{J}} \text{ は } K_{I\bar{J}} \text{ の逆行列}$$

- $V^{(F)}$  の最小値を実現する  $T, X$  は?  
 → その点にモジュライ  $T$  が固定
- ポテンシャルの最小をどのように特定するか?



- ▶ 解析的には難しい → **参照点**を利用すると解析的に
- ▶ **超対称性が保たれる点**がポテンシャルの最小になりやすい

## D. 参照点とモジュライ固定

- 参照点  $(t, x)$

$$D_T W \Big|_0 = 0, \quad V_X^{(F)} \Big|_0 = 0 \quad (\cdot|_0 \text{ は } (T, X) = (t, x) \text{ の代入})$$

$(D_T W = 0 \longrightarrow \text{超対称性が保たれている})$

- ポテンシャル  $V^{(F)}$  を参照点からの揺らぎ  $\delta T, \delta X$  で展開

$$\begin{aligned} V^{(F)} = & V^{(F)} \Big|_0 + V_T^{(F)} \Big|_0 \delta T + V_X^{(F)} \Big|_0 \delta X + \cdots + \\ & + \frac{1}{2} V_{TT}^{(F)} \Big|_0 \delta T^2 + \frac{1}{2} V_{T\bar{T}}^{(F)} \Big|_0 \delta T \delta \bar{T} + \cdots \end{aligned}$$

## D. 参照点とモジュライ固定

$V_{\delta T}, V_{\delta \bar{T}}, V_{\delta X}, V_{\delta \bar{X}} = 0 \longrightarrow \delta T, \delta \bar{T}, \delta X, \delta \bar{X}$  の値を決定



$\frac{\delta T}{t} \ll 1, \frac{\delta X}{x} \ll 1$  であれば, 参照点による近似が有効

## E. モジュライ固定の例

# 参考文献

- [1] H. Abe, T. Kobayashi, K. Sumita, and S. Uemura, *Kähler moduli stabilization in semi-realistic magnetized orbifold models*, 2017.  
Physical Review D **96** (2017) 026019, [arxiv:1703.03402 \[hep-ph, physics:hep-th\]](#).
- [2] H. Abe, T. Kobayashi, H. Ohki, and K. Sumita, *Superfield description of 10D SYM theory with magnetized extra dimensions*, 2012.  
Nuclear Physics B **863** (2012) 1–18, [arxiv:1204.5327 \[hep-ph, physics:hep-th\]](#).
- [3] H. Abe, T. Higaki, T. Kobayashi, and Y. Omura, *Moduli stabilization, F-term uplifting and soft supersymmetry breaking terms*, 2007.  
Physical Review D **75** (2007) 025019, [arxiv:hep-th/0611024](#).
- [4] K. Choi, K. S. Jeong, and K. Okumura, *Phenomenology of Mixed Modulus-Anomaly Mediation in Fluxed String Compactifications and Brane Models*, 2005.  
Journal of High Energy Physics **2005** (2005) 039–039, [arxiv:hep-ph/0504037](#).



# 参考文献

- [5] H. Abe, T. Higaki, and T. Kobayashi, *More about  $F$ -term uplifting*, 2007.  
*Physical Review D* **76** (2007) 105003, [arxiv:0707.2671 \[hep-ph, physics:hep-th\]](#).
- [6] J. Wess and J. Bagger, *Supersymmetry and Supergravity*.  
Princeton University Press, Princeton, N.J, 1992.
- [7] 柴崎 寿英, 『背景磁場を持つ 10 次元超対称 Yang-Mills 理論におけるゲージ結合に対する量子補正』, Master's thesis, 早稲田大学, 2021.
- [8] 中野 隼斗, 『磁化オービフォールド上の 10 次元超対称理論における 4 次元有効ゲージ結合定数の解析』, Master's thesis, 早稲田大学, 2023.